

月1 数値計算法

偏微分方程式の分類

偏微分方程式

未知変数が2個以上の独立変数に依存する

常微分方程式

未知変数が1個の場合

伝熱学、流体力学および燃焼学では、熱運動および物質の移動を記述する時、それらの次のニュートン粘性法則、フーリエの伝導法則、およびフィニクの法則を基礎にしている。

$$\text{ニュートンの法則: } \tau = -\mu \frac{\partial u}{\partial x}$$

$$\text{フーリエの法則: } \varphi = -k \frac{\partial T}{\partial x}$$

$$\text{フィニクの法則: } N = -D \frac{\partial Y}{\partial x}$$

このように、これら輸送現象は、速度、温度、および濃度

$\frac{u}{u}$ 、 $\frac{T}{T}$ 、 $\frac{Y}{Y}$ の勾配が、それぞれ、せん断応力、熱流速、および質量流速に比例するといふ

共通の基盤を有しており、基礎式は微小要素におけるエネルギー、運動量および質量のバランスを考慮するため、のりのりと、変化率を含む方程式すなわち、偏微分方程式がえられる。

線形2階偏微分方程式: 2独立変数の場合には、一般に

$$A u_{xx} + B u_{xy} + C u_{yy} + D u_x + E u_y + F u = G$$

という形となる。 u は2nd係数、 $A \sim G$ は x と y の関数(定数を含む)である。
この2階微分方程式は、 $B^2 - 4AC$ の正負により3種類に分類される。

$$\begin{cases} B^2 - 4AC > 0 & \text{双曲型} \\ B^2 - 4AC = 0 & \text{放物型} \\ B^2 - 4AC < 0 & \text{梢円型} \end{cases}$$

「双曲型の方程式の例」

$$\frac{\partial^2 u}{\partial t^2} = \frac{c^2}{c^2} \frac{\partial^2 u}{\partial x^2} \quad \leftrightarrow \quad -\frac{\partial^2 u}{\partial x^2} + \frac{\partial u}{\partial t^2} (y=c) \quad \leftarrow \quad \underbrace{Au_{xx} + Bu_{xy} + Cu_{yy} + Du_x + Eu_y + Fu = G}_{\text{1次元波散方程式}}$$

双曲型の例とくに1次元波散方程式がある。

独立変数が t と x であり、 t が時間、 x が空間を表す。

$$A = -c^2, \quad C = 1, \quad B = D = E = F = 0.$$

$$\beta^2 - 4AC = 0^2 - 4(-c^2) \cdot 1 = 4c^2 > 0 \quad \text{つまり双曲型}$$

「放物型の方程式の例」

$$\frac{\partial u}{\partial t} = a^2 \frac{\partial^2 u}{\partial x^2} \quad \leftarrow \quad \text{放物項.} \quad \frac{\partial u}{\partial x} \quad \frac{\partial u}{\partial t} (y=c) \quad \leftarrow \quad \underbrace{Au_{xx} + Bu_{xy} + Cu_{yy} + Du_x + Eu_y + Fu = G}_{\text{1次元拡散放物型}}$$

放物型の例とくに1次元拡散放物型がある。

$$A = -a^2, \quad E = 1, \quad B = D = F = 0.$$

$$\beta^2 - 4AC = 0^2 - 4(-a^2 \cdot 0) = 0 \quad \text{つまり放物型}$$

「楕円型方程式の例」

$$\frac{\partial^2 u}{\partial x^2} + \frac{\partial^2 u}{\partial y^2} = q(x, y) \quad \leftarrow \quad \frac{\partial^2 u}{\partial x^2} \quad \frac{\partial^2 u}{\partial y^2} \quad \leftarrow \quad \underbrace{Au_{xx} + Bu_{xy} + Cu_{yy} + Du_x + Eu_y + Fu = G}_{\text{2次元ボアソニ方程式}}$$

楕円型の2次元ボアソニ方程式がある。

$$A = 1, \quad C = 1, \quad G = q, \quad B = D = E = F = 0$$

$$\beta^2 - 4AC = 0^2 - 4 \cdot 1 \cdot 1 = -4 < 0 \quad \text{つまり、楕円型}$$

ただし、ボアソニ方程式の特に右辺が0という方程式はラプラス方程式と呼ばれている。

数値計算と誤差

○ 得られた値

(計算値: Numerical solution)

○ 本来の正しい値

(真値: Exact solution)

この間のずれ: 誤差(error)

一般に真値を \tilde{u} 計算値を u 表すと、誤差 e は次のように定義される。

$$e = \tilde{u} - u$$

これを絶対誤差 (Absolute error) という。これを e と表す。

$$e = |\tilde{u} - u| / u$$

を相対誤差 (Relative error) と呼ぶ。 \rightarrow 100倍以下%表示。
数値計算で扱う誤差には、計算誤り、プログラムエラーや不適切な計算法
↓ 区別が必要
本来の誤差。

① データ誤差 (Data error)

与えられたデータ (いわゆる入力データ) に誤差があれば、当然これに誤差を含む。これをデータ誤差という。

② 切り切り誤差 (Truncation error)

近似式を用いて計算する時の誤差を公差誤差ともいう。
例えば、差分式の切り切り誤差は、次のように定義される。

$$T_{ij} = [\text{差分式}]_{ij} - [\text{偏微分方程式}]_{ij}$$

空間 \downarrow 時間 \downarrow

$$= \left[\frac{u_{i,j+1}}{\Delta t} - \frac{u_{i+1,j} - 2u_{ij} + u_{i-1,j}}{\Delta x^2} \right] - \left(\frac{\partial u}{\partial t} - \frac{\partial^2 u}{\partial x^2} \right)_{ij}$$

オイラー法 中心差分

近似関数としてはよく収束する。数値計算では、 $n \rightarrow \infty$ で収束は不十分。

項数1000以上、2項以上の場合もある。

③ 丸めの誤差 (Round off error)

任意の数は、通常、有限小数で表わされる。計算機ではそれを有限桁で打ち切り（ほりき）ために生ずる誤差を丸め誤差とい。切り捨て、切り上げ、ヨリイは四捨五入などが丸め誤差の操作である。

④ 行落ちと情報落ち（情報喪失）

行落ちとはほとんど等しい2つの数値の差をとることによって有効桁数の減少を引き起こすことをい。

$$123.456 - 123.382 = 0.074 \rightarrow \text{有効桁数が} 6 \rightarrow 2 \text{桁}\brack \text{「4桁落ちた」}$$

⑤ 离散化誤差と安定性誤差

数値計算による全誤差を厳密解 U と差分解 u との差と、差分解と数値解 U の差に大きく分けて考えることができる。

$$\begin{aligned} \text{全誤差} &= (U - N) \\ &= (U - u) + (u - N) \\ \text{通常誤差} &= \text{離散化誤差} + \text{安定性誤差} \end{aligned}$$

前者を離散化誤差 (Discretization error)

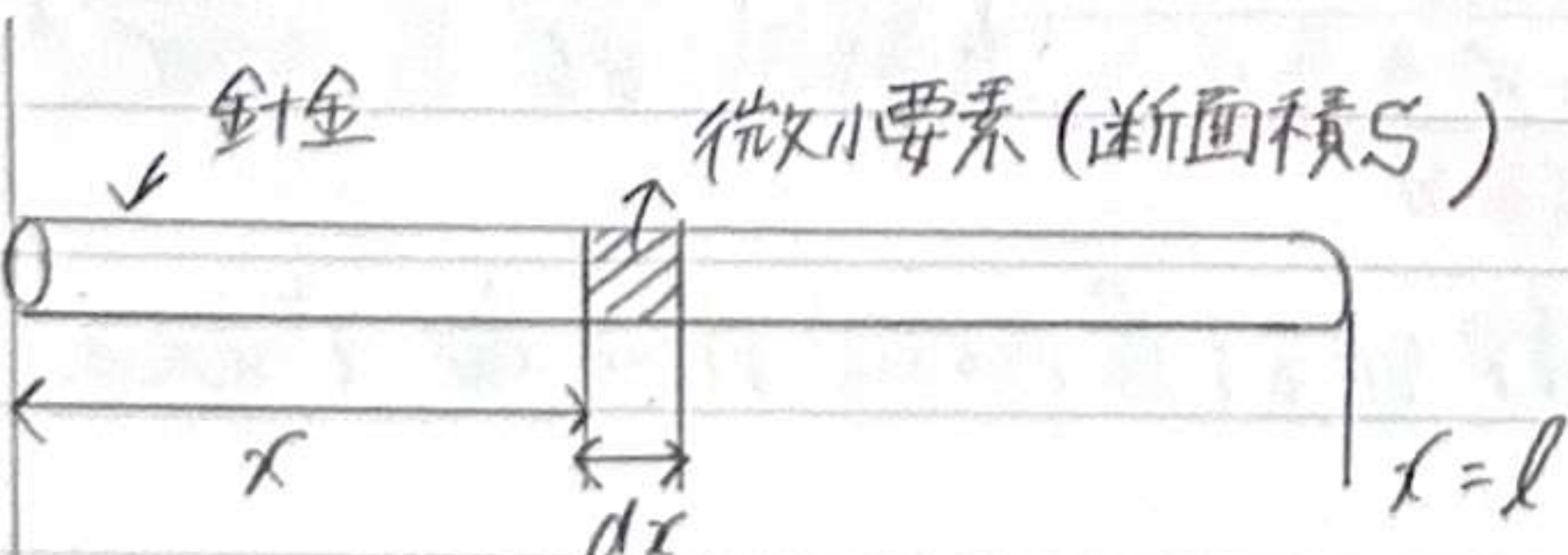
後者を安定性誤差 (Stability error) という。

放物型偏微分方程式（熱伝導方程式）の例

放物型の代表例は、フーリエ方程式最初に解かれた熱伝導の方程式である。
1次元の熱伝導方程式

$$\frac{\partial u}{\partial t} = \frac{\partial^2 u}{\partial x^2}$$

は当初、細い針金の温度分布がどうなるかを知るために用いられたと言われる。



上図のうちに、長さ l の細い針金の微小要素を考える。

左の面から時間 dt の間に流入する熱量 Q はフーリエの法則により

$$Q^- = -k \frac{\partial T}{\partial x} \cdot S \cdot dt$$

同様に右の面から流出する熱量 Q^+ は、

$$Q^+ = \frac{\partial Q^-}{\partial x} \cdot dx \cdot Q^-$$

したがって、差し引き

$$\Delta Q = Q^- - Q^+ = \frac{\partial}{\partial x} \left(k \frac{\partial T}{\partial x} \right) \cdot S \cdot dt \cdot dx$$

だけ微小要素内に蓄積される。この熱量にアリ 微小要素の温度が dt 上昇するとすると、結局、次式が得られる。

$$\rho c \frac{\partial T}{\partial t} = \frac{\partial}{\partial x} \left(k \frac{\partial T}{\partial x} \right)$$

上式中、 c : 比熱、 k : 热伝導率、 T : 温度、 t : 時間、 ρ : 密度 である。
特に、物性値が一定の場合は、

$$\frac{\partial T}{\partial t} = \alpha \frac{\partial^2 T}{\partial x^2}$$

ここで、 $\alpha = k/\rho c$ は 温度伝導率 である。

— α (w/m·K) —

タケツニ	1000 ~ 2000
銀	420
銅	398
金	320
アルミニウム	236
真ちゆう	106
鉄	90
ステンレス	84

次の式に無次元化を行う。代表温度を T_0 、代表長さを l とする。

$$T^+ = \frac{T}{T_0}, \quad x^+ = \frac{x}{l}, \quad t^+ = \frac{at}{l^2}$$

と用いると、

$$\frac{\partial T^+}{\partial t^+} = \frac{\partial^2 T^+}{\partial (x^+)^2}$$

以後、+記号を省略する。

初期温度 T_0 、長さ l の針金の両端と $t=0$ の突然、 $T=0$ にしたとすると、問題に次の式に記述される。

$$\frac{\partial T}{\partial t} = \frac{\partial^2 T}{\partial x^2}$$

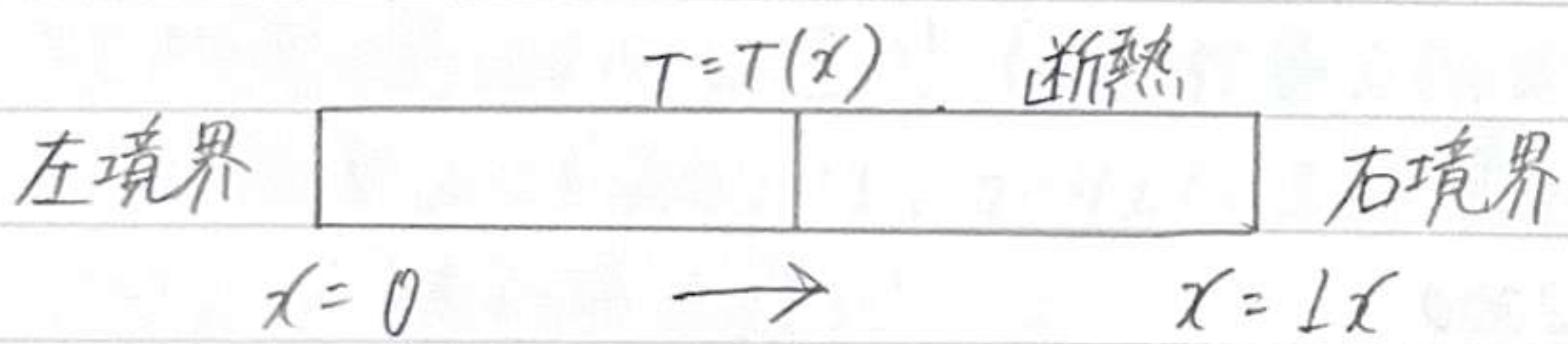
初期条件: $t=0, T=1$

境界条件: $t>0, T=0$ at $x=0, l$

変数分離を行ない、三角関数の直交性を用いると、Fourier 関数の係数を決めるという方法を用いれば、次の解析解が考えられる。

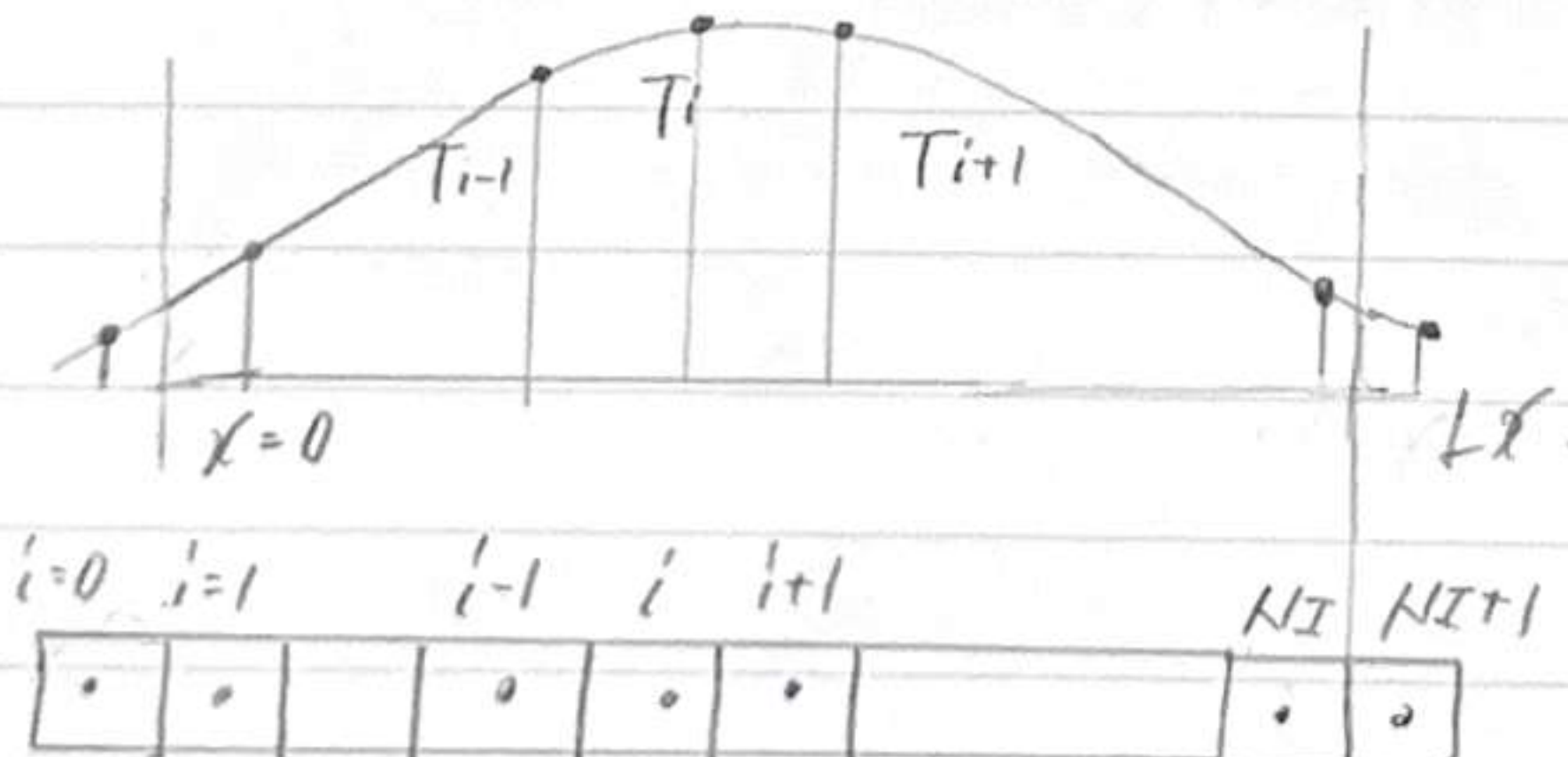
$$T = \frac{4}{\pi} \sum_{n=0}^{\infty} \frac{1}{2n+1} \sin((2n+1)\pi x) \exp\left\{-\left(2n+1\right)^2 \pi^2 t\right\}$$

基礎式の差分化



$$-\lambda \frac{\partial^2 T}{\partial x^2} = Q$$

発熱分布 $Q(x)$ とする。



この離散化された T_i を用いて微分項を表すため、もとの連続関数 $T(x)$ を点 x_i のまわりに泰勒一展開し、温度 T_{i+1} および T_{i-1} を示す。

$$T_{i+1} = T_i + \left(\frac{\partial T}{\partial x} \right)_{x=x_i} \Delta x + \frac{1}{2} \left(\frac{\partial^2 T}{\partial x^2} \right)_{x=x_i} \Delta x^2 + \frac{1}{n!} \left(\frac{\partial^n T}{\partial x^n} \right)_{x=x_i} \Delta x^n + \dots$$

$$T_{i-1} = T_i - \left(\frac{\partial T}{\partial x} \right)_{x=x_i} \Delta x + \frac{1}{2} \left(\frac{\partial^2 T}{\partial x^2} \right)_{x=x_i} \Delta x^2 - \dots + \frac{1}{n!} \left(\frac{\partial^n T}{\partial x^n} \right)_{x=x_i} (-\Delta x)^n$$

ここで Δx は温度評価点の間隔であり、等間隔 ($\Delta x = \frac{Lx}{NI}$) とする。上式を足し合わせると、点 x_i における 2 階微分 $\partial^2 T / \partial x^2$ が次式のようになされる。

$$\frac{\partial^2 T}{\partial x^2} = \frac{T_{i+1} - 2T_i + T_{i-1}}{\Delta x^2} - \frac{2}{4!} \left(\frac{\partial^4 T}{\partial x^4} \right)_{x_i} \Delta x^2 - \dots$$

上式の右辺第 2 項以降は Δx が十分小さければ、第 1 項に比べて 2 倍程度である。結局、2 階微分は次式のようになる。

$$\frac{\partial^2 T}{\partial x^2} = \frac{T_{i+1} - 2T_i + T_{i-1}}{\Delta x^2} \quad \frac{\partial T}{\partial x} = \lambda \frac{\partial^2 T}{\partial x^2} + Q \Rightarrow -\lambda \frac{\partial^2 T}{\partial x^2} = Q.$$

$$-\lambda \frac{T_{i+1} - 2T_i + T_{i-1}}{\Delta x^2} = Q \quad (i=1 \sim NI)$$

計算領域内の温度 ($i=1 \sim NI$) は上式により解かれ。

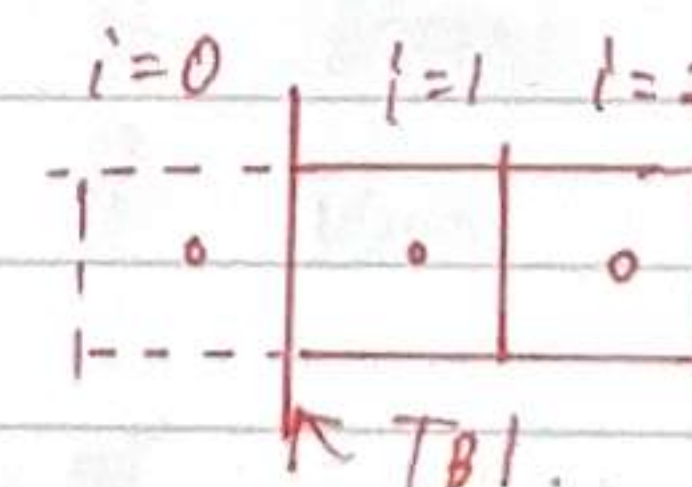
・境界条件の差分化

境界条件を与えるため計算領域の外側 ($i=0$ および $i=NI+1$) は 1 つずつ補助セルを設け、各セルの温度 T_0, T_{NI+1} を境界条件 ($= f$) とみなす。

(1) テーリル型の場合、OBF

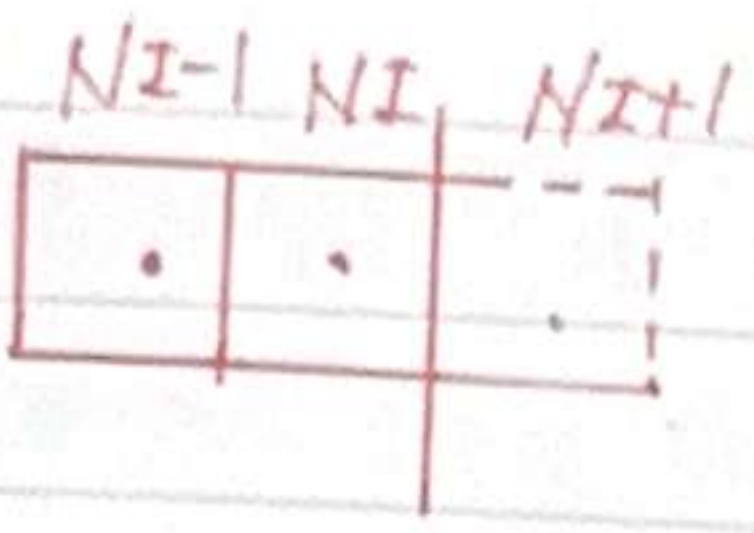
境界 $x=0$ における温度が $T = TB_1$ とすれば $T_0 = TB_1$ 。

$$\frac{T_0 + T_1}{2} = T_P$$



同様に境界 $x=Lx$ における温度が $T = TB_2$ とすれば $T_{NI+1} = TB_2$ 。

$$\frac{T_{NI+1} + T_{NI}}{2} = T_{B2}$$



(2) ノイマン型の場合 1階微分

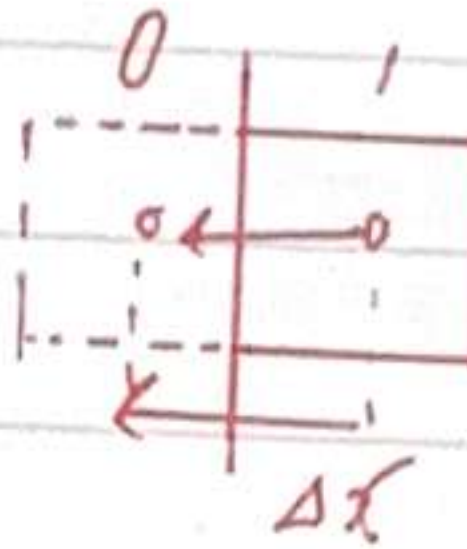
境界 $x=0$ における熱流束が $q = q_{B1}$ で与えられたとすると、

$$-\frac{\partial T}{\partial x} \Big|_{x=0} = \frac{q_{B1}}{\kappa}$$

境界における温度の 1階微分と差分近似を比較すると、

次式を得る。

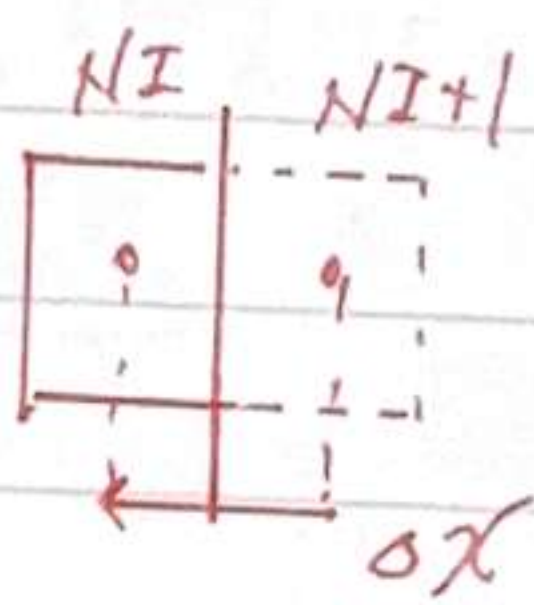
$$\frac{T_0 - T_1}{\Delta x} = \frac{q_{B1}}{\kappa}$$



境界 $x=L$ における熱流束が $q = q_{B2}$ で与えられる場合を

同様に、

$$\frac{T_{NI+1} - T_{NI}}{\Delta x} = \frac{q_{B2}}{\kappa}$$



3章 対角行列解法

温度 T_i ($i=0 \sim N_I+1$) に関する代数連立方程式が次のように表される。

$$\begin{array}{ccccccccc}
 & B_0 & C_0 & & & & T_0 & P_0 \\
 & A_1 & B_1 & C_1 & & & T_1 & D_1 \\
 & \cdots & & & & & T_{i-1} & \\
 & A_{i-1} & B_{i-1} & C_{i-1} & & & T_i & \\
 & A_i & B_i & C_i & & & T_i & \\
 & \cdots & & & & & T_{i+1} & \\
 & & 0 & & & & T_{N_I} & D_{N_I} \\
 & & & & A_{N_I} & B_{N_I} & C_{N_I} & \\
 & & & & A_{N_I+1} & B_{N_I+1} & C_{N_I+1} & T_{N_I+1} & D_{N_I+1}
 \end{array}$$

$$A_i = -\frac{\lambda}{\Delta x^2}, B_i = 2 \frac{\lambda}{\Delta x^2}, C_i = -\frac{\lambda}{\Delta x^2}, D_i = Q \quad (i=1 \sim N_I).$$

$$A_i T_{i+1} + B_i T_i + C_i T_{i-1} = D_i$$

$$-\lambda \frac{T_{i+1} - 2T_i + T_{i-1}}{\Delta x^2} = Q$$

$$\boxed{-\frac{\lambda}{\Delta x^2}} T_{i+1} + \boxed{\frac{2\lambda}{\Delta x^2}} T_i - \boxed{\frac{\lambda}{\Delta x^2}} T_{i-1} = \boxed{Q} D_i$$

境界条件 ($x=0$)

$$\text{ティックル型: } A_0 = 0, B_0 = \frac{1}{2}, C_0 = \frac{1}{2}, D_0 = T_{B1}$$

$$\text{1/2型: } A_0 = 0, B_0 = -\frac{1}{\Delta x}, C_0 = \frac{1}{\Delta x}, D_0 = \frac{QB_1}{\lambda}$$

境界条件 ($x=Lx$)

$$\text{ティックル型: } A_{N_I+1} = \frac{1}{2}, B_{N_I+1} = \frac{1}{2}, C_{N_I+1} = 0, D_{N_I+1} = T_{B2}$$

$$\text{1/2型: } A_{N_I+1} = \frac{1}{\Delta x}, B_{N_I+1} = -\frac{1}{\Delta x}, C_{N_I+1} = 0, D_{N_I+1} = \frac{QB_2}{\lambda}$$

次の手は前進消去 (各行について上の行との引算により A_i を消去した後、
 B_i の割算により対角項を1にする) と 後退代入 (各行について下の行との引算
により C_i を消去する) により簡単に解を得ることができる。

前進消去

$$C_0 = C_0 / B_0$$

$$D_0 = D_0 / B_0$$

後進代入

FOR $i = 1$ TO $N_I + 1$

$$B_i = B_i - A_i * C_{i-1}$$

$$C_i = C_i / B_i$$

$$D_i = (D_i - A_i * D_{i-1}) / B_i$$

FOR $i = N_I$ TO 0 STEP -1

$$D_i = D_i - C_i * D_{i+1}$$

NEXT.

結果の格納

FOR $i = 0$ TO $N_I + 1$

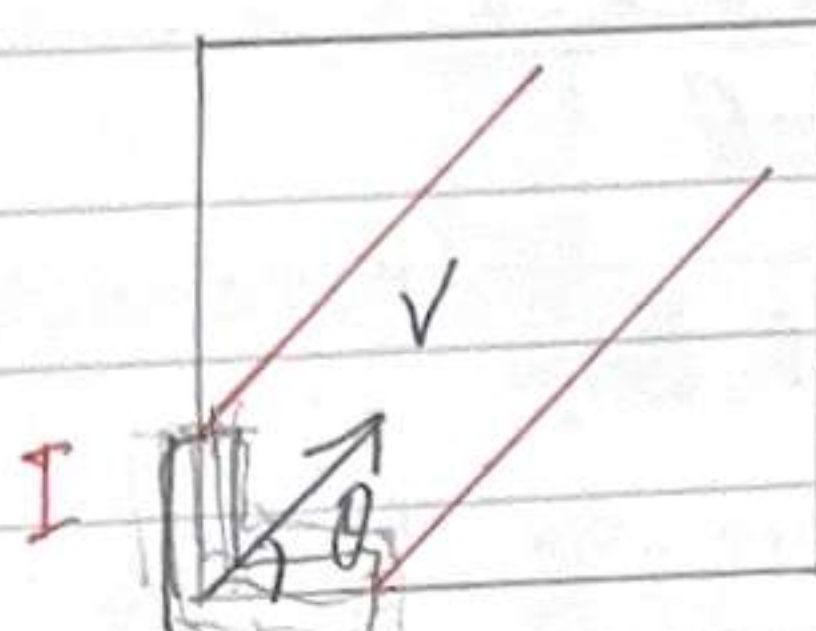
$$T_i = D_i$$

NEXT

対流差分スキーム (数値粘性)

$$\frac{\partial u}{\partial t} + \underbrace{(u \cdot \nabla) \cdot u}_{\downarrow} = - \nu p + \frac{1}{Re} \nabla^2 u$$

$$u \frac{\partial \phi}{\partial x} + \nu \frac{\partial \phi}{\partial y} = 0$$



$$u = \sqrt{u_x^2 + u_y^2}$$

$$v = \sqrt{u_y^2}$$

$$\cos \theta \frac{\partial \phi}{\partial x} + \sin \theta \frac{\partial \phi}{\partial y} = 0$$

a) 1次風上差分

$$\frac{\partial \phi}{\partial x} = \frac{\phi_i - \phi_{i-1}}{\Delta x}$$

Suuti 3 11.17

b) 2次風上差分

$$\frac{\partial \phi}{\partial x} = \frac{3\phi_i - 4\phi_{i-1} + \phi_{i-2}}{2\Delta x}$$

Suuti 4 12.01

c) Quick

$$\frac{\partial \phi}{\partial x} = \frac{(1+\alpha)\phi_{i-2} - (1+4\alpha)\phi_{i-1} + (1-4\alpha)\phi_{i+1} - (1-\alpha)\phi_{i+2}}{16\Delta x}$$

$$(a) \text{ 21. } \cos \theta \frac{\phi_{i,j} - \phi_{i-1,j}}{\Delta x} + \sin \theta \frac{\phi_{i,j} - \phi_{i,j-1}}{\Delta y} = 0$$

$\nwarrow \Delta x = \Delta y$

$$\phi_{i,j} =$$

11.17 Suuti 3

(a) 1次風上

$$\cos\theta \frac{\phi_{i,j} - \phi_{i-1,j}}{\Delta x} + \sin\theta \frac{\phi_{i,j} - \phi_{i,j-1}}{\Delta y} = 0 \quad \Delta x = \Delta y \text{ と仮定}$$

$$\phi_{i,j} (\cos\theta + \sin\theta) = \cos\theta \phi_{i-1,j} + \sin\theta \phi_{i,j-1}$$

$$\phi_{i,j} = \frac{\cos\theta \phi_{i-1,j} + \sin\theta \phi_{i,j-1}}{\cos\theta + \sin\theta}$$

Suumi3.c

$$1 \leq i \leq n-1$$

$$1 \leq j \leq h-1$$

$$V[i][j] = (\cos(\text{THEAT}) * V[i-1][j] + \sin(\text{THEAT}) * V[i][j-1]) / (\cos(\text{THEAT}) + \sin(\text{THEAT}))$$

(b) 2次風上

$$\cos\theta \frac{3\phi_{i,j} - 4\phi_{i-1,j} + \phi_{i-2,j}}{2\Delta x} + \sin\theta \frac{3\phi_{i,j} - 4\phi_{i,j-1} + \phi_{i,j-2}}{2\Delta y} = 0$$

$$\Delta x = \Delta y \text{ と仮定}$$

$$3\phi_{i,j} (\cos\theta + \sin\theta) = 4\cos\theta \phi_{i-1,j} + 4\sin\theta \phi_{i,j-1} - (\cos\theta \phi_{i-2,j} + \sin\theta \phi_{i,j-2})$$

$$\phi_{i,j} = \frac{\cos\theta (4\phi_{i-1,j} - \phi_{i-2,j}) + \sin\theta (4\phi_{i,j-1} + \phi_{i,j-2})}{3(\cos\theta + \sin\theta)}$$

Suumi4.c

$$2 \leq i \leq n$$

$$2 \leq j \leq h$$

$$V[i][j] = (\cos(\text{THEAT}) * (4 * V[i-1][j] - V[i-2][j]) + \sin(\text{THEAT}) * (4 * V[i][j-1] + V[i][j-2])) / (3 * (\cos(\text{THEAT}) + \sin(\text{THEAT})))$$

$$\left(\begin{array}{ll} 0 \leq k \leq 5 & 6 \leq k \leq n \\ V[1][k] = 1.0; & V[1][k] = 0.0; \\ V[k][1] = 1.0; & V[k][1] = 0.0; \end{array} \right) \text{ 1/10 1/4}$$

1 次元対流拡散問題

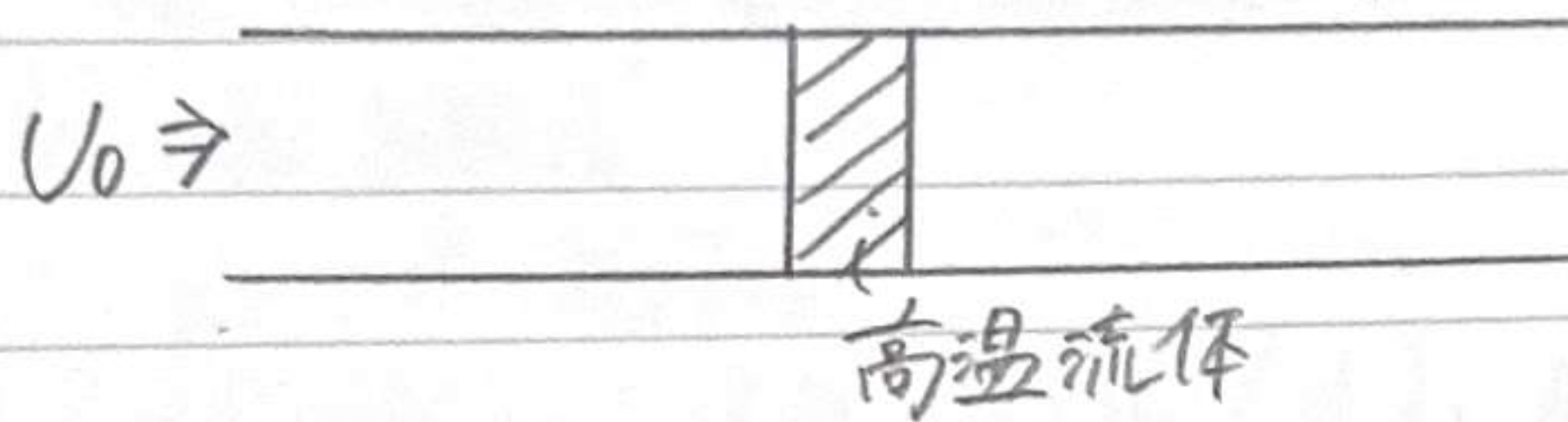
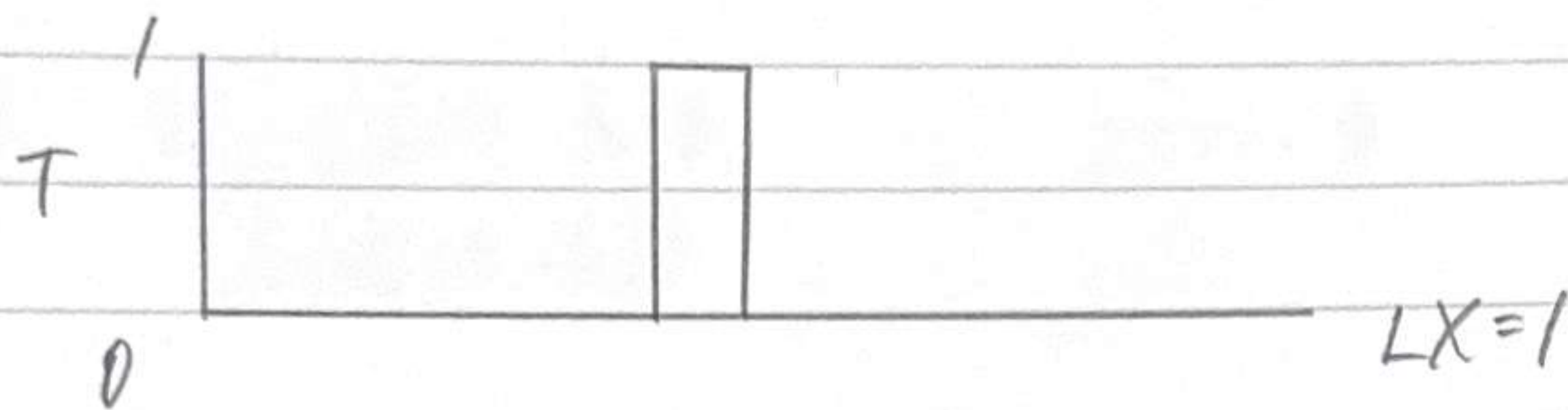


図1 計算モデル

○ モデル方程式

$$\frac{\partial T}{\partial t} + U \frac{\partial T}{\partial x} = \alpha \frac{\partial^2 T}{\partial x^2}$$

無次元化

$$\frac{\partial \tilde{T}}{\partial \tilde{t}} + \tilde{U} \frac{\partial \tilde{T}}{\partial \tilde{x}} = \frac{1}{Pe} \frac{\partial^2 \tilde{T}}{\partial \tilde{x}^2}$$

ペルル数

上式に現れる。ペルル数 $Pe (= \frac{U \alpha L}{\alpha})$ は、対流輸送と拡散輸送の比である。

$$\frac{T_i^{n+1} - T_i^n}{\Delta t} = -U \frac{T_i^{n+1} - T_{i-1}^n}{\Delta x} + \frac{1}{Pe} \frac{T_{i+1}^n - 2T_i^n + T_{i-1}^n}{\Delta x^2}$$

↓ 亂差分